

**НАБЛЮДЕНИЕ ОБРАЗОВАНИЯ ОЧАРОВАННЫХ БАРИОНОВ Σ_c^{*++}
В НЕЙТРИННЫХ ВЗАИМОДЕЙСТВИЯХ НА ПУЗЫРЬКОВОЙ
КАМЕРЕ СКАТ**

*В.В.Аммосов, И.Л.Васильев, А.А.Иванилов, П.В.Иванов, В.И.Конюшко,
В.М.Кораблев, В.А.Коротков, В.В.Макеев, А.Г.Мягков, А.Ю.Поляруш,
А.А.Соколов*

Институт физики высоких энергий РАН

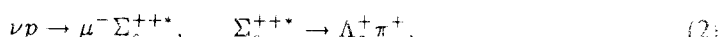
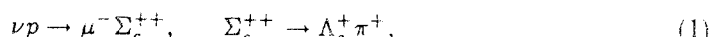
142284 Протвино, Россия

Поступила в редакцию 5 июля 1993 г

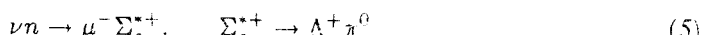
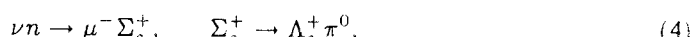
Представлены результаты изучения реакций квазиупрого образования очарованных барионов на протоне с помощью пузырьковой камеры СКАТ, экспонированной в нейтринном пучке Серпуховского ускорителя У-70. Приведены результаты первого наблюдения Σ_c^{*++} -бариона с массой $M(\Sigma_c^{*++}) = 2,530 \pm 0,005 \pm 0,005$ ГэВ. Получены оценки сечений реакций $\sigma(\nu p \rightarrow \mu^- \Sigma_c^{*+}) = (2,3 \pm 2,0) \cdot 10^{-40} \text{ см}^2$, $\sigma(\nu p \rightarrow \mu^- \Sigma_c^{*++}) = (4,5 \pm 4,0) \cdot 10^{-40} \text{ см}^2$.

1. Введение. Первые экспериментальные данные об образовании очарованных барионов были получены более 15 лет назад в нейтринном эксперименте на пузырьковой камере Гаргамель [1]. Однако до сих пор экспериментальная информация об очарованных барионах значительно беднее данных об очарованных мезонах.

Данная работа посвящена изучению процессов квазиупрого образования очарованных барионов на протонах в реакциях



Также возможны реакции квазиупрого образования очарованных барионов на нейтроне:



Для изучения реакции (1) и (2) значительно более удобны по сравнению с реакцией (3), поскольку разность масс Σ_c^{*++} и Λ_c^+ на опыте определяется со значительно более высокой точностью, чем сами массы этих частиц. Анализ реакций (4) и (5) осложняется наличием π^0 -мезона, эффективность регистрации которого не очень высока.

Поиск очарованных барионов в квазиупругих реакциях позволяет существенно уменьшить комбинаторный фон и эффективно использовать кинематический анализ события. Нейтринный пучок ИФВЭ оптимален для поиска реакций квазиупрого образования очарованных барионов, поскольку максимум отношения сечения таких реакций к полному сечению взаимодействия нейтрино приходится на максимум интенсивности нейтринного пучка.

2. Модельные предсказания. Экспериментальная ситуация относительно образования Σ_c^{*+} - и Σ_c^{*++} -барионов совершенно различна. В то время как

Σ_c^{*++} -барион наблюдался в нескольких экспериментах по νN -рассеянию [1–5], в e^+e^- – [6,7] и pA -коударениях [8], данные о Σ_c^{*++} на сегодня отсутствуют. Существует ряд модельных предсказаний массы Σ_c^{*++} (см. таблицу). Как видно из таблицы, все предсказания массы $M(\Sigma_c^{*++})$ лежат в интервале 2,5–2,6 ГэВ, причем последние по времени работы предсказывают значения $M(\Sigma_c^{*++})$ в интервале 2,530–2,550 ГэВ. Для экспериментального поиска Σ_c^{*++} -бариона очень важен вопрос о его ширине. На рис.1 приведена зависимость ширины Σ_c^{*++} от массы $M(\Sigma_c^{*++})$, вычисленная по формуле, полученной в работе [15]. Из графика видно, что для интересующего интервала масс Σ_c^{*++} эта ширина составляет примерно 10 МэВ, что сравнимо с нашим экспериментальным разрешением.

Теоретические предсказания массы Σ_c^{*++}

Модель	Λ_c^+	Σ_c^{*++}	Σ_c^{*++}
J.Basdevant et al. [9]	2.251	2.372	2.496
S.Samuel et al. [10]	2.282	2.431	2.594
C.Kalman et al. [11]	inp	2.424	2.499
Chiaki Iton et al. [12]	2.282	2.455	2.532
Kalinovsky et al. [13]	2.282	2.449	2.555
S.Fleck et al. [14]	inp	2.443	2.542

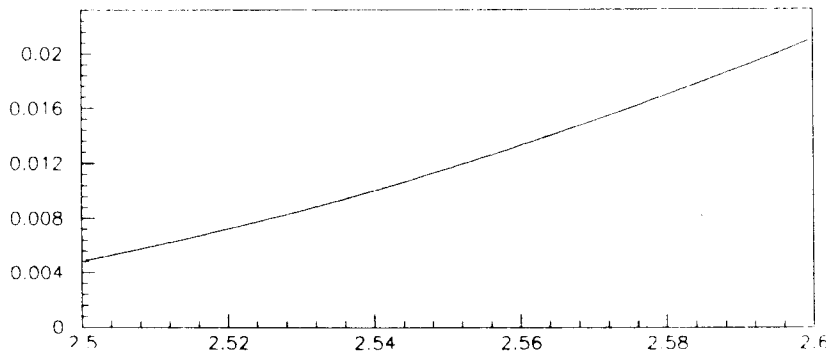


Рис.1. Зависимость ширины от массы Σ_c^{*++} (ГэВ)

3. Экспериментальная процедура. Эксперимент выполнен на пузырьковой камере СКАТ в широкополосном пучке нейтрино при энергии протонов 70 ГэВ. Большая часть статистических данных получена с использованием в качестве рабочей жидкости пропан-фреоновой смеси (13% фреона по объему), одна треть статистики – на этан-пропан-фреоновой смеси. Свойства этих рабочих жидкостей весьма близки ($\lambda_{rad} = 52$ см, длина до взаимодействия для адронов $\simeq 120$ см) и обеспечивают хорошее восстановление импульсов частиц ($\Delta p/p = 0,02, 0,08$ и $0,20$ для мюонов, адронов и γ -квантов, соответственно) и хорошую эффективность регистрации γ -квантов ($\epsilon_\gamma = 0,5$). Анализ основан на статистике, полученной в сеансах 1987–1992 гг, при суммарном сбросе $4 \cdot 10^{18}$ протонов на мишень.

Для подавления фоновых процессов отбирались события, удовлетворяющие следующим критериям:

- видимая энергия нейтрино больше 3 ГэВ,
- импульс мюона больше 0,5 ГэВ/с,
- инвариантная масса адронной системы больше $1 \text{ ГэВ}/c^2$.

В эксперименте зарегистрировано 12800 событий $\nu_\mu N$ -взаимодействия в заряженном токе, удовлетворяющих этим ограничениям. Из них 8% обусловлено взаимодействием нейтрино с водородом, 30% – взаимодействием нейтрино с протонами внутри ядра. Для выделения реакций квазиупругого образования Σ_c^{*++} -барионов отбирались события с полным зарядом +1. Множественность заряженных частиц должна быть не менее 3, если в событии есть зарегистрированный V^0 , и не менее 5 в остальных случаях. Событие не должно содержать более одного идентифицированного бариона – протона или Λ -гиперона. Число γ -квантов в событии должно быть четным. Протоны и π^+ -мезоны идентифицировались на стадии физического просмотра по ионизации и их вторичным взаимодействиям, Λ -гипероны и K^0 -мезоны идентифицировались по результатам кинематического анализа.

Для выделения событий без незарегистрированных нейтронов и γ -квантов, а также для подавления комбинаторного фона события подвергались процедуре кинематического фита. Направление движения нейтрино считалось известным. Учитывался также разброс в углах нейтрино, определенный из моделирования нейтринного пучка для условий нашего эксперимента. Для выделения событий на водороде применялась процедура ЗС-фита события. Поскольку значительная часть событий обусловлена взаимодействием нейтрино с протоном внутри ядра, для этого случая была разработана специальная процедура. В ней предполагалось, что импульс протона распределен по нормальному закону со средним значением 180 МэВ/с и дисперсией $\sigma = 46$ МэВ/с. Такие параметры были выбраны в соответствии с распределением Ферми для импульсов нуклона внутри ядра. Гипотеза принималась, если ее вероятность была более 0,5% и фитированное значение импульса протона мишени было менее 230 МэВ. При наличии ЗС- и 1С-фитов, предпочтение отдавалось ЗС-гипотезе.

При фитировании событий π^+/p – неопределенные треки рассматривались с двумя массовыми гипотезами – π^+ и p . В событиях, которые не содержат V^0 -частицу, отрицательно заряженные частицы, не являющиеся мюонами, также рассматриваются с двумя массовыми гипотезами – π и K . В каждом событии среди гипотез, имеющих одну странную частицу и один барион в конечном состоянии, выбиралась гипотеза, имевшая наибольшую вероятность. Использование фитированных событий позволило уменьшить фон от событий, в которых есть незарегистрированные нейтральные частицы, в 4 раза.

Для отобранных гипотез определялись инвариантная масса всей адронной системы M^{++} , инвариантная масса адронной системы без одного π -мезона M^+ , а также их разность $\Delta M = M^{++} - M^+$. Ошибка на эти величины не должна была превышать 100 МэВ. Средние значения ошибок на эти параметры в нашем эксперименте составляют $\langle \sigma(M^{++}) \rangle \approx \langle \sigma(M^+) \rangle = 60$ МэВ, $\langle \sigma(\Delta M) \rangle = 15$ МэВ.

Далее мы отбирали события, в которых M^+ отличается от табличного значения массы $\Lambda_c^+(2285)$ не более чем на 2 ошибки в M^+ . После всех этих ограничений осталось 14 событий.

Для проверки процедуры фита и критериев отбора были смоделированы события реакций квазиупругого образования очарованных Σ_c^{*++} -барионов, а также обычных нейтринных взаимодействий. При моделировании были учтены

размеры камеры и экспериментальное разрешение. Смоделированные события были пропущены через процедуру кинематического фита. Анализ результатов фита показал, что в 90% случаев топология события, выбранная в соответствии с приведенными выше критериями, является истинной топологией события.

4. Экспериментальные результаты. На рис.2 приведено распределение по разности масс для упомянутых событий. Два события, имеющие $\Delta M = 174 \pm 2$ МэВ и 160 ± 5 МэВ, мы интерпретируем как события квазиупругого образования Σ_c^{*+} , для которого табличное значение разности масс составляет 168 МэВ. Фон к ним составляет $\sim 0,1 \div 0,2$ события. Вероятность имитации фоном составляет для них 0,1%. Далее мы имеем кластер из 6 событий в районе $\Delta M = 220 \div 260$ МэВ, соответствующий значениям масс $M^{++} = 2,520 - 2,560$ ГэВ. Для оценки фона в этой области масс подобный анализ был повторен с двумя смещенными значениями массы Λ_c^+ : $M(\Lambda_c^+) = 2,085$ ГэВ и $2,485$ ГэВ. Из такого анализа мы оценили, что фон в области $M^{++} = 2,520 - 2,560$ ГэВ составляет 1 событие.

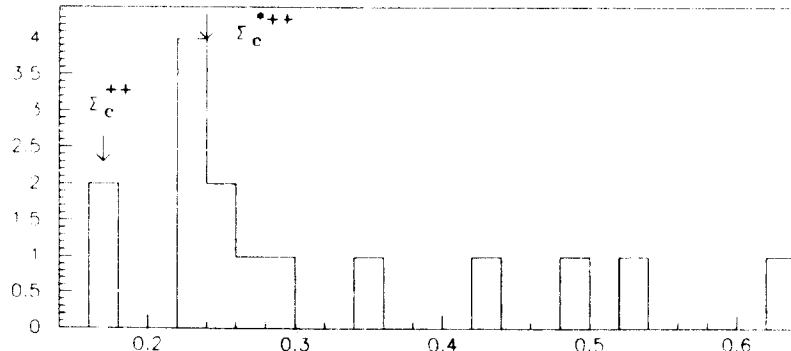


Рис.2. Распределение по разности масс (ГэВ)

Таким образом наблюдается избыток событий в области масс 2,520–2,560 ГэВ, который мы интерпретируем как первое наблюдение образования Σ_c^{*++} -бариона. Вероятность имитации фоном составляет для них 0,01%. Два из этих событий содержат нейтральную странную частицу в конечном состоянии (1 событие с Λ -гипероном и 1 событие с K_s -мезоном). Фон для событий с нейтральной странной частицей в конечном состоянии составляет $\approx 0,1$ события. Вероятность имитации фоном для этих событий также равна 0,01%. Значение массы Σ_c^{*++} -бариона, оцененное по этим событиям, составляет $M(\Sigma_c^{*++}) = 2,530 \pm 0,005 \pm 0,005$ ГэВ. Распределения событий с образованием Σ_c^{*+} и Σ_c^{*++} по кинематическим переменным Q^2 , X и Y удовлетворительно согласуются с ожидаемыми.

Мы сделали также оценку сечений образования Σ_c^{*+} - и Σ_c^{*++} -барионов. Основными источниками потерь событий для анализа являются конверсия г-квантов вне эффективного объема камеры и наличие в событии плохо измеренных треков ($\Delta p/p \geq 0,6$). Для событий с нейтральными странными частицами дополнительные потери появляются вследствие распадов их вне эффективного объема камеры и распадов по нейтральным модам. Эффективность прохождения событий через систему обработки определялась из анализа смоделированных событий для реакций (1) и (2). Распады Λ_c^+ -бариона моделировались с помощью программы JETSET 6,3. Полная эффективность для

событий, содержащих K^- -мезон, была оценена равной 0,5, а для событий, содержащих нейтральную странную частицу, – 0,2. Учитывая эти эффективности мы получаем оценки сечений для реакций (1) и (2):

$$\sigma(\nu p \rightarrow \mu^- \Sigma_c^{++}) = (2,3 \pm 2,0) \cdot 10^{-40} \text{ см}^2,$$

$$\sigma(\nu p \rightarrow \mu^- \Sigma_c^{*++}) = (4,5 \pm 4,0) \cdot 10^{-40} \text{ см}^2.$$

Эти результаты согласуются с оценкой сечения для квазиупрого образования Σ_c^{++} , полученной на пузырьковой камере БЕПК:

$$10^{-40} \text{ см}^2 < \sigma(\nu p \rightarrow \mu^- \Sigma_c^{++}) < 1,3 \cdot 10^{-39} \text{ см}^2.$$

В заключение выражаем глубокую благодарность оперативному персоналу ускорителя ИФВЭ, нейтринного канала, камеры СКАТ, а также сотрудникам отдела обработки фильмовой информации за большую помощь в проведении эксперимента.

-
1. E.G.Cazzoli, A.M.Cnops, P.L.Connolly et al., Phys. Rev. Lett. **34**, 1125 (1975).
 2. G.T.Jones et al., Zeit. f. Phys. C **38**, 593 (1987).
 3. P.C.Bosetti et al., Phys. Lett. **109B**, 234 (1982).
 4. C.Baltay, D.Caroumbalis, H.French, et al., Phys. Rev. Lett. **42**, 1721 (1979).
 5. S.J.Barish et al., Phys. Rev. D **15**, 1 (1977).
 6. T.Bowcock, K.Kinoshita, F.M.Pipkin et al., Phys. Rev. Lett. **62**, 1240 (1989).
 7. H.Albrecht et al., Phys. Lett. **211**, 489 (1988).
 8. M.Diesburg, R.Ladbury, M.Binkley et al., Phys. Rev. Lett. **59**, 2711 (1987).
 9. J.-L.Basdevant and S.Boukraa, Zeit. f. Phys. C **30**, 103 (1986).
 10. S.Samuel, Phys. Lett. B **168**, 413 (1986).
 11. C.S.Kalman and Pfeffer, Phys. Rev. D **27**, 1648 (1983).
 12. Chiaki Iton, Toshiyuki Minamikawa, Kimio Miura et al., Phys. Rev. D **40**, 3660 (1989).
 13. Yu.L.Kalinovsky et al., pr. JINR, E2-87-897, 1987.
 14. S.Fleck and J.Richard, Part. World 1, N 3, 67.
 15. Yu.L.Kalinovsky et al., JINR, E2-87-906 (1987).